

纳米光子学及其应用 (Fall 2022)

November 9, 2022



## 第二次作业：11个思考题

张豪

202221050516

Z.Howe94@163.com

### 思考题

#### 思考 1

什么是近场和远场？近场和远场各具有什么特点？

Answer:

近场指的是从物体表面到一个波长以内距离的电磁场，而远场指的是从近场以外一直延伸到无穷远区域的电磁场。

波在近场中是被局域化的，且结构具有较小的空间尺度，不向外辐射能量，但可以通过相互作用传递能量，近场具有更大的波矢分量，即有  $k_x > k$ ，可以用来探测精细的结构信息；

波在远场中是辐射化的，且结构具有较大的空间尺度，在真空中能无损失地辐射能量，远场具有较小的波矢分量，即有  $k_x < k$ ，可以用来探测粗略的结构信息。

#### 思考 2

为什么利用近场可以探测超越分辨率极限的精细结构信息？

Answer:

根据测不准原理可知，若波矢分量大于其模量，则可以突破衍射极限，即  $\Delta x < \lambda/2$ 。因此问题变为为什么近场具有波矢分量大于其模量的特点。

假定物体表面为  $x-y$  平面 ( $z=0$ )，位于  $(x, y)$  处的光场可以表示为：

$$E(x, y, 0) = \frac{1}{2\pi} \iint U_0(k_x, k_y) e^{i(k_x x + k_y y)} dk_x dk_y \quad (.2.1)$$

由亥姆赫兹方程  $\nabla^2 E + k^2 E = 0$ ，可以得到在  $(x, y, z)$  处的角谱为：

$$U(k_x, k_y, z) = U_0(k_x, k_y) \exp(iz\sqrt{k^2 - k_x^2 - k_y^2}) = U_0(k_x, k_y) e^{ik_z z} \quad (.2.2)$$

当  $k_x^2 + k_y^2 > k^2$ ,  $k_z = i\kappa$  时，式(.2.2)为：

$$U(k_x, k_y, z) = U_0(k_x, k_y) e^{-\kappa z} \quad (.2.3)$$

场在  $z$  方向衰减，故为局限于表面的隐失场(即近场)。假定物体表面为一系列不同周期光栅的叠加，则衍射光波矢分量( $a, b$ 为可能的  $x, y$  方向的光栅周期)有：

$$k_x = \frac{2n\pi}{a}, k_y = \frac{2m\pi}{b}, n, m = 1, 2, 3... \quad (.2.4)$$

如果  $a, b < \lambda$ ，则  $k_x, k_y > k$  对应隐失场，即小于波长的精细结构对应隐失场，不能传播到远处，故利用近场可以探测超越分辨率极限的精细结构信息。

### 思考 3

原子力显微镜(AFM)有几种工作模式?各模式的优、缺点是什么?

Answer:

原子力显微镜(AFM)有三种工作模式,分别为接触模式,非接触模式和轻敲模式。这三种模式各自的优缺点如下表(1)所示。

Table 1: AFM三种模式的优缺点

工作模式	优点	缺点
接触	快速扫描、适用于与较粗糙坚硬样品 摩擦力分析,可在液体中扫描	摩擦力会损害或改变表面形貌 特别是柔软的表面
非接触	不损坏样品和尖端	分辨率低,受环境影响大
轻敲	适用于表面容易受损、表面松弛的样品 特别是生物样品	扫描速度慢,难以在溶液中扫描

### 思考 4

为什么对于扫描电子显微镜和透射电子显微镜,电子加速电压越高,分辨率越好?为什么采用场发射电子源后,分辨率可以得到极大的提高(相比于热电子发射)?

Answer:

电子在加速电压作用下的能量为:

$$E = eU - W_e \quad (.4.1)$$

其中 $W_e$ 为逸出能。当加速电压 $U$ 增大,则电子能量 $E$ 增大,根据 $E = hc/\lambda$ ,可知此时电子的波长变短,故电子束光斑变小,图像的分辨率提升。

电子是费米子,因此满足费米——狄拉克分布:

$$f(E) = \frac{1}{1 + e^{\frac{E - E_F}{k_B T}}} \quad (.4.2)$$

为了便于电子从普通材料中逸出,给电子发射材料加热,使电子在高于费米能级有更多的电子存在。但是,随着温度的升高(热电子发射),电子在离开费米能级附近的分布愈加弥散,导致从材料中出射的电子的能量存在一个很大的范围 $\Delta E$ ,温度越高,范围越大,相当于德布罗意波长分布广,最终使电镜图片的质量变差。而对于场发射电镜,并不需要对电子发射材料加热,因此,电子在费米能级附近的分布更加集中,出射能量集中在一个小的区间,德布罗意波长更加集中,更接近单色,电镜图片得到显著提高。

### 思考 5

试列举近场光学显微镜的三个应用?

Answer:

- 1、高分辨荧光成像;
- 2、表面等离子体激元激发与成像;
- 3、高分辨近场光电导;

## 思考 6

对于FDTD, 什么是“蛙跳算法”? Yee网格有什么优势?

Answer:

在对有限差分近似公式进行离散化时, 为了满足精度要求, 按半步长时间交错进行 $\mathbf{E}$ 和 $\mathbf{H}$ 的更新, 解得场的时间微分, 即在时间半步长 $n+1/2$ 处写 $\mathbf{H}$ 场, 在时间整步长 $n$ 处写 $\mathbf{E}$ 场, 更新方程变为:

$$\begin{cases} \mathbf{E}^{n+1} = \mathbf{E}^n + \frac{\Delta t}{\epsilon} [\nabla \times \mathbf{H}]^{n+1/2} \\ \mathbf{H}^{n+3/2} = \mathbf{H}^{n+1/2} - \frac{\Delta t}{\mu} [\nabla \times \mathbf{E}]^{n+1} \end{cases}$$

算法示意图如下图所示:

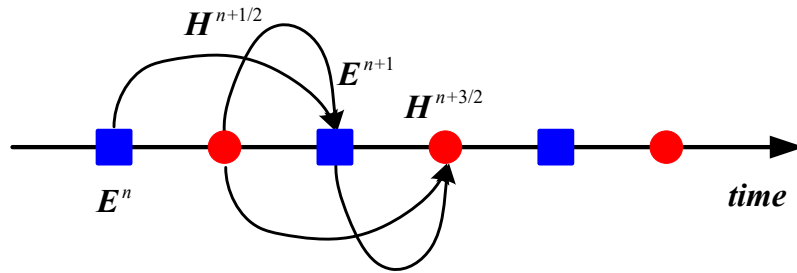


Figure 1: 蛙跳算法

Yee网格的优势有:

- 1、Yee网格算法隐含地执行了两个高斯定律, 同时保证了无源区域中电场和磁场都是无散的;
- 2、物理边界条件( $\mathbf{E}$ 和 $\mathbf{H}$ 的连续性)是自然满足的;
- 3、采用耦合的Maxwell旋度方程, 同时在时间和空间求解电场和磁场, 获得的解更加稳定;
- 4、在三维空间中的各物理场分量位于不同的位置, 每一个 $\mathbf{E}$ 或 $\mathbf{H}$ 分量由四个 $\mathbf{H}$ 或 $\mathbf{E}$ 循环的分量所环绕, 保证了该算法同时模拟了Maxwell方程的微分形式和积分形式;
- 5、即使场分量位于同一个单元内, 场分量也可以在不同的材料中;
- 6、场分量间不同相;
- 7、与时间上的电场、磁场交叠一致。

## 思考 7

如何由平面波展开法得到二维光子晶体的本征方程(考虑TM波)?

Answer:

平面波展开法的基本思想是, 将电磁场在倒格矢空间以平面波叠加的形式展开, 将麦克斯韦方程组化成一个本征方程, 求解该方程的本征值得到传播光子的本征频率。

周期性的介电常数表示为 $\epsilon(\mathbf{r}) = \epsilon(\mathbf{r} + \mathbf{R})$ ,  $\mathbf{R}$ 为晶格平移矢量, 其中介电常数的倒数也是周期性的, 可将其表示成一系列平面波的迭加(傅里叶级数):

$$\frac{1}{\epsilon(\mathbf{r})} = \sum_{\mathbf{G}} \eta_{\mathbf{G}} e^{i\mathbf{G} \cdot \mathbf{r}} \quad (.7.1)$$

其中 $\mathbf{G}$ 是光子晶体的倒格矢, 相应的傅里叶展开系数 $\eta_{\mathbf{G}}$ 为:

$$\eta_{\mathbf{G}} = \frac{1}{\Omega} \int_{\text{WSC}} \frac{1}{\epsilon(\mathbf{r})} \times e^{-i\mathbf{G} \cdot \mathbf{r}} d\mathbf{r} \quad (.7.2)$$

以TM模式为例,二维光子晶体中TM模电磁波的电矢量都平行于介电柱的方向(即对应的电矢量与坐标 $z$ 无关),因此有:

$$\frac{1}{\varepsilon(\mathbf{r})} \nabla^2 \mathbf{E}(\mathbf{r}) + \frac{\omega^2}{c^2} \mathbf{E}(\mathbf{r}) = 0 \quad (.7.3)$$

由于电矢量与坐标 $z$ 无关,故有:

$$\frac{1}{\varepsilon(\mathbf{r})} \left( \frac{\partial^2}{\partial x^2} + \frac{\partial^2}{\partial y^2} \right) E_z(\mathbf{r}) = -\frac{\omega^2}{c^2} E_z(\mathbf{r}) \quad (.7.4)$$

根据Bloch定理,电场分量可以表示成一系列平面波的迭加。将下式

$$\mathbf{E}_z(\mathbf{r}) = \sum_{\mathbf{G}} \mathbf{E}_{z,\mathbf{G}} e^{i(\mathbf{k}+\mathbf{G}) \cdot \mathbf{r}} \quad (.7.5)$$

和级数形式(.7.1)代入式(.7.4),进行适当的空间积分和代换,得到矩阵形式的本征方程:

$$\sum_{\mathbf{G}'} \eta(\mathbf{G} - \mathbf{G}') |\mathbf{k} + \mathbf{G}'| |\mathbf{k} + \mathbf{G}| \times \mathbf{E}_{z,\mathbf{G}'} = \frac{\omega^2}{c^2} \mathbf{E}_{z,\mathbf{G}} \quad (.7.6)$$

### 思考 8

自然界中哪些现象与光子晶体相关,试举两个例子?

Answer:

自然界与光子晶体相关的有:蝴蝶的翅膀、变色龙的变色机理、象鼻虫外壳结构和孔雀羽毛结构等。

### 思考 9

光子晶体带隙的物理起源是什么?三维光子晶体,哪些结构最有希望产生完全光子带隙?要获得全向带隙,除了晶体结构以外,还希望哪个参数大?

Answer:

光子带隙的物理起源是入射光频率满足布拉格条件( $e^{i2ka} = 1, k = \pi/a$ ),此时所有反射波叠加之后的反射率 $R = 1$ (仅考虑入射光有反射),光波不能在晶体中传播,故产生了光子带隙。

面心立方(fcc)结构是产生光子带隙最理想的结构,目前最有希望产生完全光子带隙的是fcc,金刚石和木堆积结构。

要获得全向带隙,除了晶体结构以外,还希望光子晶体的折射率差越大越好。

### 思考 10

为什么相对介电常数和磁导率都为负,材料的折射率为负?

Answer:

光在任何非理想材料中传输都有损耗,假设介电常数和磁导率满足:

$$\varepsilon = \varepsilon_r + i\delta_1, \mu = \mu_r + i\delta_2 \quad (.10.1)$$

假定损耗很小,即 $\delta_i$ 为小量,则有:

$$n^2 = \varepsilon\mu \approx \varepsilon_r\mu_r + i(\varepsilon_r\delta_2 + \mu_r\delta_1) \quad (.10.2)$$

若 $\varepsilon_r < 0, \mu_r < 0$ ,根据式(.10.2)可得:

$$n = \pm \sqrt{\varepsilon_r\mu_r} \left[ 1 - i \frac{(|\varepsilon_r|\delta_2 + |\mu_r|\delta_1)}{2\varepsilon_r\mu_r} \right] \quad (.10.3)$$

介质必然是损耗介质,故折射率虚部应该大于0,因此可得:

$$n = -\sqrt{\varepsilon_r \mu_r} + i \frac{(|\varepsilon_r| \delta_2 + |\mu_r| \delta_1)}{2\sqrt{\varepsilon_r \mu_r}} \quad (.10.4)$$

此时,  $n_r = -\sqrt{\varepsilon_r \mu_r} < 0$ , 因此如果相对介电常数和磁导率都为负, 材料的折射率为负。

### 思考 11

试推导使折射率为负的必要条件。

Answer:

假设  $n = n_r + i n_i$ , 故有:

$$n^2 = n_r^2 - n_i^2 + 2i n_r n_i \quad (.11.1)$$

假设  $\varepsilon = \varepsilon_r + i \varepsilon_i$ ,  $\mu = \mu_r + i \mu_i$ , 故有:

$$\varepsilon \mu = (\varepsilon_r + i \varepsilon_i)(\mu_r + i \mu_i) = (\varepsilon_r \mu_r - \varepsilon_i \mu_i) + i(\varepsilon_r \mu_i + \varepsilon_i \mu_r) \quad (.11.2)$$

由于  $n^2 = \varepsilon \mu$ , 故对应虚部相等, 即:

$$2n_r n_i = \varepsilon_r \mu_i + \varepsilon_i \mu_r \quad (.11.3)$$

因为  $n_i > 0$ , 故若使  $n_r < 0$ , 则只需  $\varepsilon_r \mu_i + \varepsilon_i \mu_r < 0$  即可, 此即为使折射率为负的必要条件。